

| Corrigé non rédigé |
Interaction Laser-Plastique

A - Équation de diffusion :

19. - cf. cours $\left\{ \begin{array}{l} \rho c \cdot \frac{\partial T}{\partial t} + \frac{\partial j_\theta}{\partial x} = 0 : \text{ bilan d'énergie en l'absence de source.} \\ j_\theta = - \lambda \cdot \frac{\partial T}{\partial x} : \text{ loi de Fourier.} \end{array} \right.$

On en déduit :

$$\boxed{\frac{\partial T}{\partial t} = \mu \cdot \frac{\partial^2 T}{\partial x^2}}$$

- Θ n'est solution que si $k = \frac{1}{2}$.

B - Flux thermique constant:

20. - à $\theta(x,t) = \theta_0 + \frac{b \cdot e^{-u^2}}{\sqrt{\mu t}}$ correspond un vecteur densité de flux thermique

$$\vec{j}_\theta = - \lambda \frac{\partial \theta}{\partial x} \hat{x} = - \frac{2b}{\sqrt{\mu t}} \cdot \frac{kx}{\sqrt{\mu t}} \cdot \frac{k}{\sqrt{\mu t}} e^{-u^2} \hat{x}$$

$$\vec{j}_{\theta \text{ final}} = - \frac{2b k^2}{(\mu t)^{3/2}} \cdot e^{-u^2} \hat{x}$$

dans $\vec{j}_\theta(0,t) = - \frac{2b k^2}{(\mu t)^{3/2}} \hat{x}$

Cette solution ne correspond pas à la situation proposée car $\vec{j}_\theta(0,t)$ devrait être ~~un vecteur constant~~ constant (non nulle) pour $t > 0$.

21 - Grâce à la loi de Fourier, on calcule $j_\theta(x,t)$:

$$j_\theta(x,t) = - \lambda \cdot \frac{2Bx}{\lambda} \sqrt{\mu t} \times \frac{\partial u}{\partial x} \times F'(u)$$

or $\frac{\partial u}{\partial x} = \frac{k}{\sqrt{\mu t}}$ et $F'(u) = \frac{-2u e^{-u^2}}{\sqrt{\pi}} - \operatorname{erf}(u) - u \cdot \operatorname{erf}'(u)$

Enfin $\operatorname{erf}'(u) = - \frac{2}{\sqrt{\pi}} \cdot e^{-u^2}$

(dans la note je conserve la valeur $\frac{1}{2}$ pour k).

$$\text{Abs, } j_{\alpha}(z, t) = B_1 \cdot \text{erf}(u) \quad | \quad (\text{tous calculs fait})$$

22. Conditions aux limites :

$$\left. \begin{array}{l} \text{. } \forall t, j_{\alpha}(0, t) = j_{\alpha_0} \text{ done } B_1 = j_{\alpha_0} \text{ (car } \text{erf}(0) = 1) \\ \text{. } \forall t, \lim_{x \rightarrow \infty} T(x, t) = T_0 \text{ done } A_1 = T_0 \text{ (car } \lim_{u \rightarrow \infty} F(u) = 0) \end{array} \right.$$

C - Temperature constante :

$$\left. \begin{array}{l} \text{. } \forall t, T(0, t) = T_1 \text{ done } A_2 + B_2 = T_1 \\ \text{. } \forall t, \lim_{x \rightarrow \infty} T(x, t) = T_0 \text{ done } A_2 = T_0 \end{array} \right. \quad \left. \begin{array}{l} \text{Ainsi, } B_2 = T_1 - T_0 \\ \text{Remarque :} \\ \lim_{x \rightarrow 0} \left(\lim_{t \rightarrow 0} T(x, t) \right) = T_0 \\ \lim_{t \rightarrow 0} \left(\lim_{x \rightarrow 0} T(x, t) \right) = T_1 \\ \text{les limites ne} \\ \text{commutent pas...} \end{array} \right.$$

$$24 - j_{\alpha}(z, t) = \lambda(T_1 - T_0) \cdot \frac{2e^{-u^2}}{\sqrt{\pi t}}$$

$$\lim_{t \rightarrow 0} j_{\alpha}(z, t) = 0 : \text{ok! car } \underset{t=0}{\tilde{\exists}} \quad T = T_0 \quad \forall x > 0$$

$$\lim_{t \rightarrow \infty} j_{\alpha}(z, t) = 0 : \text{ok! Régime stable - } (T(x, t) \xrightarrow[t \rightarrow \infty]{} T_1)$$

$$\lim_{x \rightarrow \infty} j_{\alpha}(z, t) = 0 : \text{ok! car l'infini c'est loin...}$$

↳ Je ne vois rien de gênant dans cette expression.

D - Modélisation d'une opération de perçage :

25. On utilise les résultats de la partie III.B car tant que la fente n'a pas fini, le flux en $x=0$ est constant.

$$\text{On cherche } t_f \text{ tel que } T(0, t_f) = T_f$$

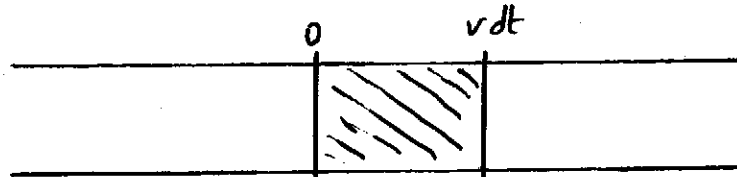
$$\text{done } \frac{2j_{\alpha_0} \sqrt{\mu t_f}}{\lambda \sqrt{\pi}} = T_f - T_0$$

$$\text{done } t_f = \frac{\pi}{\mu} \cdot \left(\frac{\lambda(T_f - T_0)}{2j_{\alpha_0}} \right)^2 \quad \left| \quad \frac{t_f}{(j_{\alpha_0} = \frac{P_e}{\sigma})} = 6.3 \text{ ms} \right.$$

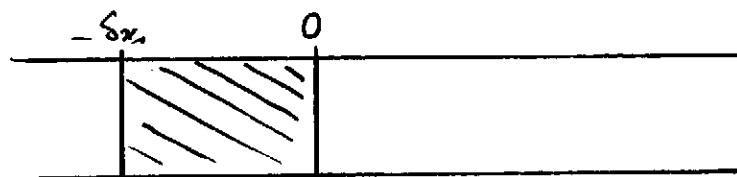
26. Écrivons un bilan énergétique pour le système fermé contenu à l'instant t entre les abscisses $x=0$ et $x=vdt$. (3)

À l'instant $t+dt$, ce système se trouve entre les abscisses $x=-\delta x_1$ et 0 .

à t



à $t+dt$



À t , le système est à l'état solide ; à $t+dt$, il est liquide.

$$(\delta x_1 = \frac{V_{liq}}{V_{sol}} \cdot vdt)$$

rapport des volumes massiques.

L'évolution de ce système étant isobare (équilibre diphasé à T_f), on a

$$H(t+dt) - H(t) = S\vartheta$$

donc $\underbrace{\rho \cdot S \cdot vdt \cdot L_f}_{\substack{\text{Somme} \\ \text{masse du système}}} = \underbrace{j_{\vartheta} \cdot S dt}_{\substack{\text{apporté à gauche} \\ (\text{liquide transparent au laser})}} - j_{\vartheta}(vdt) S dt$

dt étant infiniment petit, on ne garde que les termes d'ordre 1 :

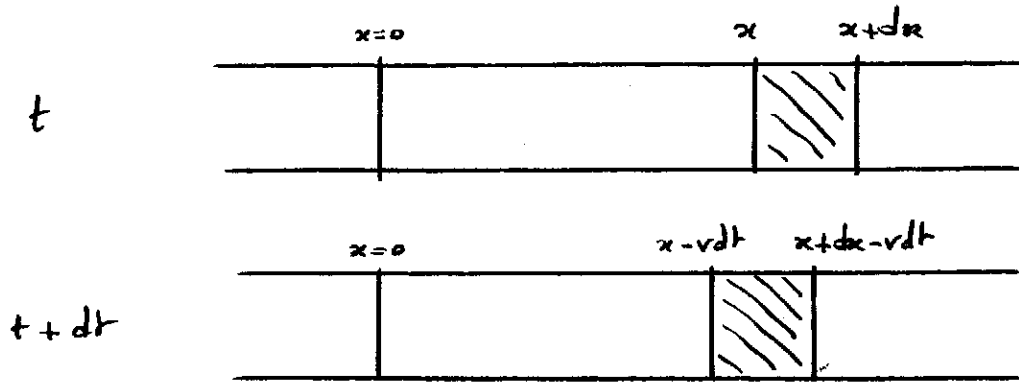
$$\rho \cdot v dt \cdot L_f = j_{\vartheta} dt - j_{\vartheta}(0) dt$$

donc $\rho v L_f = j_{\vartheta} + \lambda \frac{\partial T}{\partial x}(0, t)$

donc

$$V = \frac{j_{\vartheta} + \lambda \cdot \frac{\partial T}{\partial x}(0, t)}{\rho \cdot L_f}$$

27. Considérons le système formé depuis à l'instant t entre les abscisses x et $x+dx$. ($x > 0$: système solide)
- À $t+dt$, ce système se trouve entre les abscisses $x-vdt$ et $x+dx-vdt$.



Un bilan énergétique s'écrit :

$$dH = \delta Q \quad (\text{on fait } dH = \delta Q ; \text{ici, peu de différence...})$$

$$\rho c \left(T(x-vdt) - T(x) \right) S dx = j_a(x) S dt - j_e(x+dx) S dt$$

donc $\rho c \times \left(-v.dt. \frac{dT}{dx}(x) \right) S dx = - \frac{dj_e(x)}{dx} S dt$

donc $\rho c \cdot v \frac{dT}{dx} = - \lambda \frac{d^2T}{dx^2}$

donc $\boxed{\frac{dT}{dx} = - \gamma \cdot \frac{d^2T}{dx^2}} \quad \text{avec } \gamma = \frac{\mu}{\nu}$

28- $T(x) = T_0 + (T_f - T_0) \cdot e^{-\frac{v \cdot x}{\mu}}$ est la solution du problème.

29- On utilise le résultat de la question 26 ; Par ailleurs, $j_{e0} = \frac{P_e}{\sigma}$

donc $v = \frac{1}{\rho \cdot L_f} \left(\frac{P_e}{\sigma} + \frac{\nu \lambda}{\mu} \cdot (T_0 - T_f) \right)$

donc $v = \frac{P_e / \sigma \rho}{L_f + c \cdot (T_f - T_0)}$

A.N: $v = 1,95 \text{ cm. s}^{-1}$

Valeur qui me semble réaliste !